

**К ТЕОРИИ ПРЯМЫХ ЛИНИЙ РАЗРЫВА НАПРЯЖЕНИЙ  
ДЛЯ ДЕЙСТВИТЕЛЬНОГО ПЛОСКОГО ТЕЧЕНИЯ  
ЖЕСТКО-ПЛАСТИЧЕСКОГО ТЕЛА**

О.Д. Григорьев (Новосибирск)

Рассматривается связь между условием положительности мощности рассеивания и картиной действительного плоского течения вблизи прямой линии разрыва; устанавливается кинематический признак существования прямой линии разрыва напряжений.

Докажем следующий кинематический признак существования прямой линии разрыва. Для того чтобы некоторая прямая была линией разрыва напряжений для действительного плоского течения жестко-пластического тела, необходимо и достаточно, чтобы указанная прямая:

а) не совпадала с линией скольжения;

б) после исключения поступательного движения пластической области была ортогональна к линиям тока, и разделяла ортогональные к линиям тока траектории различной вогнутости (выпуклости); при этом линия разрыва не совпадает с точками перегиба линий тока.

*Необходимость.* Пусть имеется прямая линия разрыва напряжений. Очевидно, она не совпадает с линией скольжения. Исключив поступательное движение пластической области, получим, что линия разрыва ортогональна к полю скоростей. Так как скорости непрерывны вблизи прямой линии разрыва, то криволинейная сетка в виде линий тока и ортогональных к ним траекторий имеет здесь непрерывную касательную.

Вдоль указанной ортогональной сетки имеют место соотношения [1, 2]

$$\begin{aligned} \frac{\sigma_{11}}{\sigma_{22}} &= \sigma \pm k \cos 2\beta, \quad \sigma = \frac{1}{2} (\sigma_{11} + \sigma_{22}), \quad \sigma_{12} = k \sin 2\beta \\ \xi_{11} = -\xi_{22} &= \frac{1}{H_1} \frac{\partial v}{\partial q_1} = \frac{v}{R_2}, \quad \xi_{12} = \frac{H_1}{H_2} \frac{\partial v}{\partial q_2 H_1} = 2 \operatorname{tg} 2\beta \frac{v}{R_2} \end{aligned} \quad (1)$$

Здесь  $\sigma_{ij}$ ,  $\xi_{ij}$  — физические компоненты тензоров напряжений и скоростей деформации;  $H_1$ ,  $H_2$  — коэффициенты Ламе;  $\beta$  — угол между направлением большого главного напряжения и вектором скорости;  $v$  — модуль вектора скорости;  $R_2$  — радиус кривизны ортогональных к линиям тока траекторий.

Согласно (1) с обеих сторон прямой линии разрыва (после исключения поступательного движения) имеем

$$\sin 2\beta^+ = \sin 2\beta^-, \quad \beta^- = 90^\circ - \beta^+ \quad (2)$$

Здесь значения с разных сторон линии разрыва отличаются индексами плюс и минус.

Рассмотрим условие положительности мощности рассеивания вблизи линии разрыва, выразив последнее в форме [2]

$$\begin{aligned} R_2 > 0 &\quad \text{для } -45^\circ < \beta < 45^\circ \text{ или } 135^\circ < \beta < 225^\circ \\ R_2 < 0 &\quad \text{для } -45^\circ < \beta < 135^\circ \text{ или } 225^\circ < \beta < 315^\circ \end{aligned} \quad (3)$$

При этом радиус кривизны считается положительным, если он направлен в сторону возрастания параметра  $q_1$ .

Из (3) — (2) следует, что прямая линия разрыва разделяет ортогональные траектории различной вогнутости (выпуклости).

*Достаточность.* Пусть имеет место действительное плоское течение. Причем поле линий тока после исключения поступательного движения пластической области содержит ортогональную к линиям тока прямую, которая не совпадает с линией скольжения и разделяет ортогональные траектории различной вогнутости. По условию вдоль указанной прямой

$$R_2 = \infty \quad (4)$$

Поэтому тензор скоростей деформации обращается вдоль нее в нуль. С другой стороны, вследствие различной вогнутости ортогональных траекторий функция  $\beta$  при переходе через прямую претерпевает разрыв (3). Таким образом, рассматриваемая прямая может быть только линией разрыва напряжений для действительного плоского течения [3]. Заметим, что из рассмотрения выпал случай прямых линий тока, т. е. когда среда движется, как твердое тело. Покажем, в заключение, что линия разрыва не совпадает с точками перегиба ортогональных траекторий. Ввиду (1) имеем

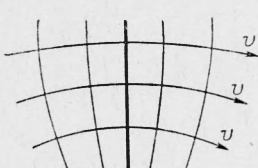
$$\xi_{12}^+ = \xi_{12}^-, \quad v^+ = v^-, \quad \left[ \frac{\partial \ln v}{\partial s_2} - \frac{\partial \alpha}{\partial s_1} \right]^+ = \left[ \frac{\partial \ln v}{\partial s_2} - \frac{\partial \alpha}{\partial s_1} \right]^- = 0 \quad (5)$$

где  $\partial \alpha / ds_1$  — кривизна линий тока;  $\partial / ds_2$  — производная вдоль линии разрыва.

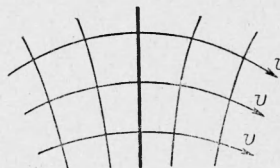
Так как случай поступательного движения исключается, то

$$\frac{\partial \ln v^+}{\partial s_2} = \frac{\partial \ln v^-}{\partial s_2} \neq 0, \quad \frac{\partial \alpha^+}{\partial s_1} = \frac{\partial \alpha^-}{\partial s_1} \neq 0 \quad (6)$$

Отсюда в силу леммы о сохранении непрерывной функции в окрестности точки, где она отлична от нуля, своего знака, получим, что кривизна линий тока не меняет знака при переходе через линию разрыва. Следовательно, прямая линия разрыва



Фиг. 1



Фиг. 2

не является геометрическим местом точек перегиба линий тока. На фиг. 1 и 2 изображены возможные картины плоского течения вблизи прямой линии разрыва.

Поступила 22 XI 1962

#### ЛИТЕРАТУРА

1. Григорьев О. Д. К теории плоской деформации жестко-пластического тела. ПММ, 1961, т. 25, вып. 5.
2. Григорьев О. Д. Об условии положительности мощности рассеивания в плоском течении жестко-пластического тела. ПМТФ, 1962, № 1.
3. Каучанов Л. М. Основы теории пластичности. Гостехиздат, 1956.

#### О РЕЛАКСАЦИИ НАПРЯЖЕНИЙ В ТОНКОСТЕННОЙ ТРУБЕ

*В. С. Наместников (Новосибирск)*

В работе [1] при рассмотрении релаксации тонкостенной трубы, закрученной и растянутой одновременно, предполагалось, что упругие мгновенные компоненты деформации удовлетворяют условию несжимаемости. Рассмотрим эту задачу, оставившись от требования несжимаемости.

Оси  $x$ ,  $y$  располагаем в касательной плоскости, направив ось  $x$  параллельно оси трубы. Тензор напряжений в рассматриваемом случае приводится к

$$\sigma_x = \sigma, \quad \tau_{xy} = \tau, \quad \sigma_y = \sigma_z = \tau_{xz} = \tau_{yz} = 0 \quad (1)$$

Тензор упругих деформаций выражается

$$e_x = \sigma/E, \quad e_y = e_z = -v\sigma/E, \quad e_{xy} = (1+v)\tau/E, \quad e_{xz} = e_{yz} = 0 \quad (2)$$

( $E$  — модуль Юнга,  $v$  — коэффициент Пуассона)

Выражения для деформации ползучести имеют вид

$$\dot{p}_x = \frac{\dot{p}}{\sigma_i} \sigma, \quad \dot{p}_y = \dot{p}_z = \frac{-\dot{p}}{2\sigma_i} \sigma, \quad \dot{p}_{xy} = \frac{3}{2} \frac{\dot{p}}{\sigma_i} \tau, \quad \dot{p}_{xz} = \dot{p}_{yz} = 0 \quad (3)$$

$p$  и  $\sigma_i$  связаны зависимостью

$$\dot{p}p^\alpha = \kappa \exp \left\{ \frac{\sigma_i}{A} + \frac{|\tau_{\max}|}{A_0} \right\} \quad \left( \dot{p}^2 = \frac{2}{3} \dot{p}_{ij} \dot{p}_{ij}, \sigma_i^2 = \frac{3}{2} \sigma_{ij} \sigma_{ij} \right) \quad (4)$$

В рассматриваемом случае

$$\sigma_i = \sqrt{\sigma^2 + 3\tau^2}, \quad \tau_{\max} = \sqrt{(\sigma/2)^2 + \tau^2} \quad (5)$$

Постоянными сохраняются удлинения и угол поворота трубы, поэтому условия релаксации сводятся к

$$\epsilon_x = e_x + p_x = \text{const}, \quad \epsilon_{xy} = e_{xy} + p_{xy} = \text{const} \quad (6)$$

Из (2), (3) и (6) получаем

$$\dot{\sigma} + \frac{E\dot{p}}{\sigma_i} \sigma = 0, \quad \dot{\tau} + \frac{E\dot{p}}{m\sigma_i} \tau = 0 \quad \left( m = \frac{2(1+v)}{3} \right) \quad (7)$$